LXXVII 1983

УДК 532.501.32:528.024.6

ГИДРАВЛИКА

А. М. Бархударян

Колебание жидкости в трубопроводах и в системах гидродинамических нивелиров в поле массовых сил

(Представлено академиком АН Армянской ССР А. Г. Назаровым 1/II 1983)

В основе гидродинамического нивелирования (1-3) использована закономерность изменения уровней жидкости при одномерном нестационарном движении в системах сообщающихся сосудов. В существующей теории гидродинамического нивелирования рассмотрено нестационарное движение жидкости в поле силы тяжести (3). Однако в некоторых случаях нестационарное движение проявляется также при возникновении или присутствии других видов массовых сил.

Целью настоящей работы является получение уравнения одномерного нестационарного движения капельной жидкости в поле любых массовых сил и исследование характера движения жидкости в трубах, возникающего вследствие внезапного изменения массовых сил, например, случае землетрясения.

Уравнение Эйлера для одномерного движения жидкости следующее:

$$S - \frac{1}{\rho} \frac{\partial p}{\partial s} = \frac{\partial u}{\partial t} + \frac{\partial}{\partial s} \left(\frac{u^2}{2} \right), \tag{1}$$

где S—проекция массовых сил по направлению движения; u—скорость; p—давление; ρ —плотность жидкости.

При наличии сил тяжести вектор массовой силы \overline{F} в каждой точке жидкости представляет собой сумму единичной силы веса \overline{g} и единичной силы инерции \overline{f} переносного движения:

$$\overline{F} = \overline{g} + \overline{j}, \quad \overline{j} = -\overline{a};$$

где \bar{a} —вектор переносного ускорения в данной точке жидкости.

Подставляя в (1) значение проекции массовой силы $S = F\cos(f, s)$ и интегрируя вдоль линии тока, для потока реальной капельной жидкости получим уравнение неустановившегося движения

$$\frac{p_1}{\rho} + \frac{\alpha_1 v_1^2}{2} = \frac{p_2}{\rho} + \frac{\alpha_2 v_2^2}{2} + \alpha_0 \int_{s_1}^{s_2} \frac{\partial v}{\partial t} ds - \int_{s_1}^{s_2} F\cos(f, s) ds + gh_n; \tag{2}$$

где v—средняя скорость потока; h_n —мгновенное значение потери энергии, которое обычно подсчитывается по соотношениям, полученным для установившегося движения. 186

В уравнении (2) выражение $gh_{\text{ин}} = \alpha_0 \int_{s_1}^{s_2} \frac{\partial v}{\partial t} ds$ есть изменение ки-

нетической энергии жидкости, отнесенной к единице мгновенного массового расхода.

Если в векторном поле массовых сил проведем отрезок кривой,

$$A = \int_{s_1}^{s_2} F \cos(f, s) ds = \int_{s_1}^{s_2} \overline{F} \cdot d\overline{r} = \int_{s_1}^{s_2} F_s ds$$

будет определять величину циркуляции вектора массовых сил по заданному контуру. Если X, Y, Z соответствующие проекции единичной массовой силы \overline{F} на координатные оси, тогда

$$A = \int_{s_1}^{s_2} (Xdx + Ydy + Zdz). \tag{3}$$

В том случае, когда движение происходит в равноускоренном поле, т. е. когда массовая сила в данный момент времени во всех точках жидкой среды одинакова,

$$A = X(x_2 - x_1) + Y(y_2 - y_1) + Z(z_2 - z_1).$$
(4)

При принятых обозначениях уравнение неустановившегося движения для потока реальной капельной жидкости примет вид

$$\frac{p_1}{\rho} + \frac{\alpha_1 v_1^2}{2} = \frac{p_2}{\rho} + \frac{\alpha_2 v_2^2}{2} + gh_n + gh_{HR} - A. \tag{5}$$

Рассмотрим следующие задачи:

1. Жидкость в изогнутой трубке (рис. 1) находилась в состоянии абсолютного покоя в поле силы тяжести. Начиная с момента t=0 на нее действует также поле переносного ускорения a, вследствие чего жидкость выходит из состояния покоя и начинает совершать колебательное движение. Необходимо получить закономерность изменения уровней в коленах трубки.

Пусть в момент времени t вертикальное отклонение левого столба от начального положения равно δ , а правого — β , причем $\beta = \delta \sin \varphi$. Написав уравнение (5) для обоих концов жидкого столба и учитывая, что скорости и давления в этих сечениях одинаковы, будем иметь

$$g(h_n + h_{\text{HH}}) - A = 0.$$
 (6)

Наибольший практический интерес представляет случай ламинарного движения, при котором

$$h_n = \frac{32 v l v}{g d_0^2},\tag{7}$$

где 1—длина жидкого столба; у-кинематический коэффициент вяз-

кости жидкости; d_0 —диаметр трубки. Средняя скорость движения жидкости в трубке $v = d\delta/dt$.

При неустановившемся движении жидкости в трубке постоянного сечения локальное ускорение $\partial v/\partial t$ в каждый рассматриваемый момент времени одинаково для всех сечений по длине потока, и поэтому инерционный напор будет:

$$h_{\text{HH}} = \frac{\alpha_0}{g} \int_{s_1}^{s_2} \frac{\partial v}{\partial t} \, ds = \frac{\alpha_0 l}{g} \cdot \frac{dv}{dt} = \frac{\alpha_0 l}{g} \frac{d^2 \delta}{dt^2}.$$

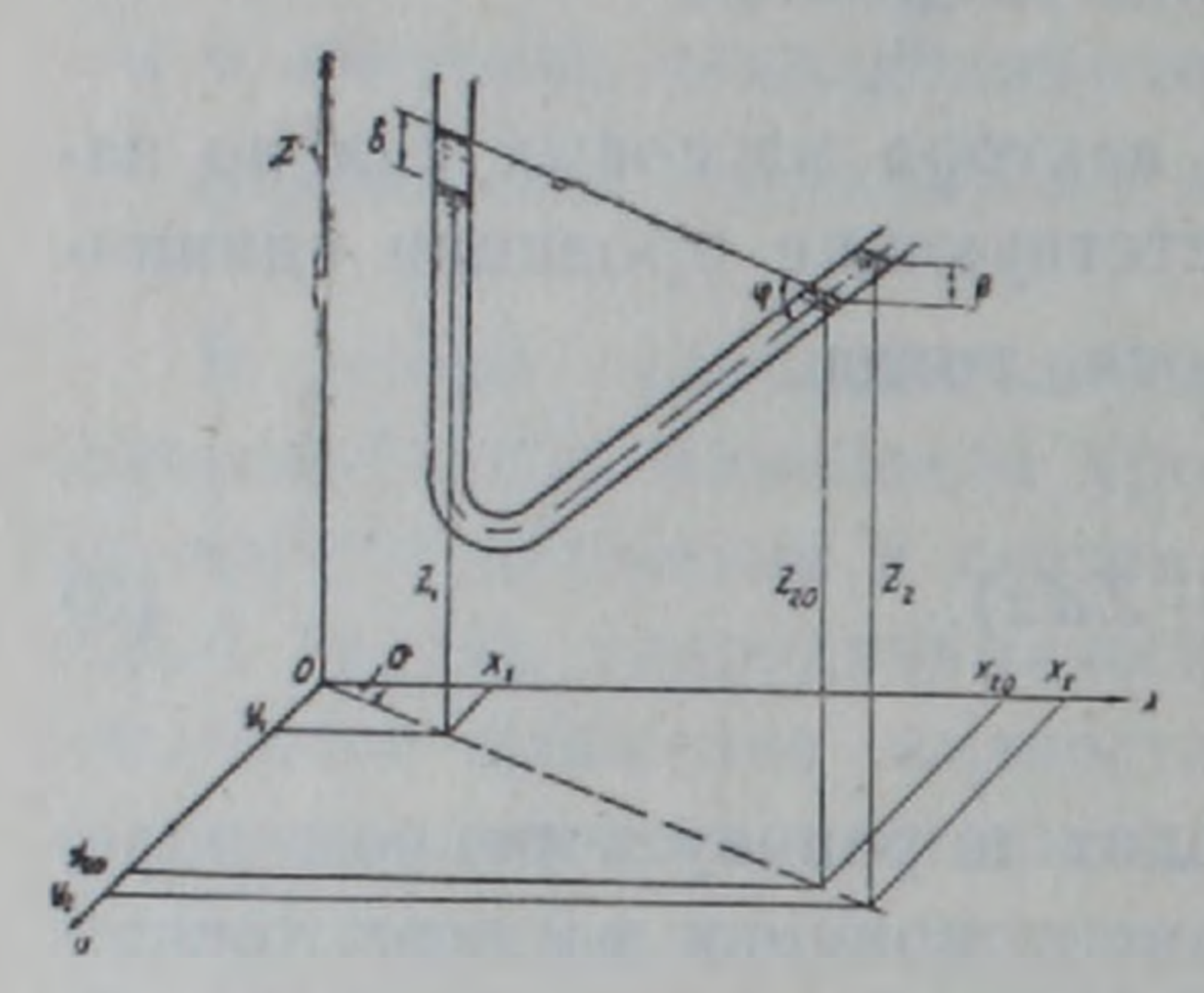


Рис. 1. Схема изогнутой трубки с жидкостью

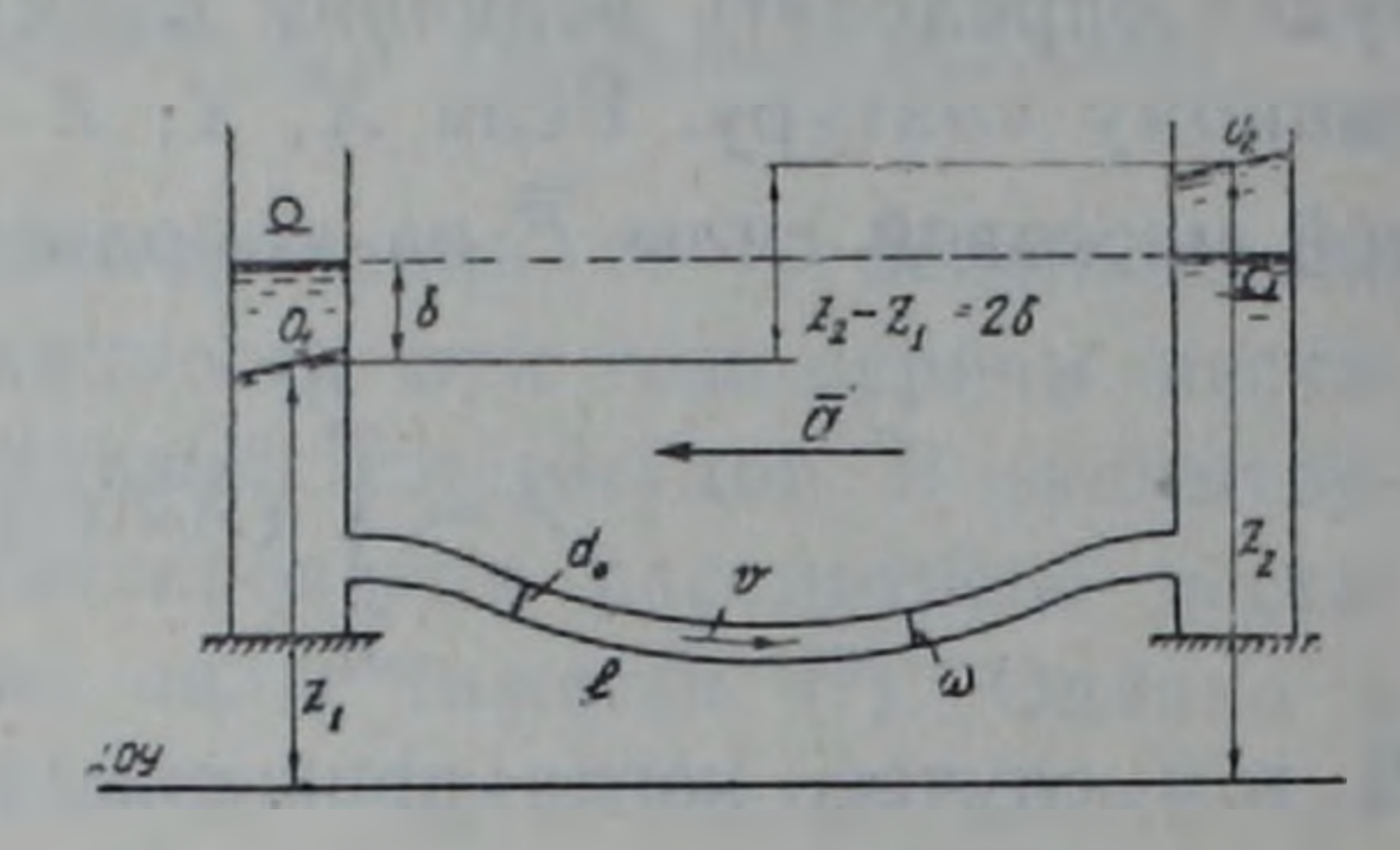


Рис. 2. Система гидродинамического нивелирования, состоящая из двух сосудов

Если обозначить $x_{20}-x_1=x_0$ $y_{20}-y_1=y_0$ и учесть, что $z_2-z_1=\delta(1+\sin\varphi);\;x_2-x_1=x_0+\delta\cos\varphi\cos\varphi;\;y_2-y_1=y_0+\delta\cos\varphi\sin\nu;$ после обозначения

$$f = \frac{1}{\alpha_0 l} (X x_0 + Y y_0); \quad p = \frac{32\nu}{d_0^2 \alpha_0};$$

$$q = -\frac{z(1 + \sin\varphi) + X \cos\varphi \cos\nu + Y \cos\varphi \sin\nu}{\alpha_0 l};$$

в общем случае, когда массовая сила изменяется со временем, из (6) получим

$$\frac{d^2\delta}{dt^2} + p\frac{d\delta}{dt} + q(t)\delta = f(t) \tag{8}$$

линейное неоднородное дифференциальное уравнение второго порядка. При рассмотрении колебания жидкости в стационарном поле массовой силы, обозначив $\eta = \delta - f/q$, получим следующее однородное линейное уравнение второго порядка с постоянными коэффициентами:

$$\eta'' + p\eta' + q\eta = 0, \tag{9}$$

а. Общее решение уравнения (9) при больших сопротивлениях, т. е. при $p^2-4q>0$,

где

$$r_1 = -\frac{p}{2} + \lambda; \quad r_2 = -\frac{p}{2} - \lambda; \quad \lambda = \sqrt{\left|\frac{p^2}{4} - q\right|}.$$

Постоянные интегрирования определяются из начальных условий при $t=0,\ \delta=0,\ v=d\delta/dt=0$:

$$C_1 = -\frac{2\lambda + p}{4\lambda} \frac{f}{q}; \qquad C_2 = \frac{p - 2\lambda}{4\lambda} \cdot \frac{f}{q}.$$

При больших сопротивлениях движение жидкости в трубе не носит колебательного характера и

$$\mathfrak{F} = \frac{f}{q} + C_1 e^{r_1 t} + C_2 e^{r_2 t}. \tag{10}$$

б. При меньших сопротивлениях, т. е. при $p^2-4q<0$,

$$\delta = \frac{f}{q} \left[1 + e^{-\frac{p}{2}t} \left(\cos \lambda t + \frac{p}{2} \sin \lambda t \right) \right]. \tag{11}$$

При этом движение жидкости является колебательным.

в. При $4q - p^2 = 0$

$$\delta = \frac{f}{g} \left[1 - e^{-\frac{p}{2}t} \left(1 + \frac{p}{2}t \right) \right]. \tag{12}$$

2. Предположим, что два сосуда соединены трубой постоянного диаметра (рис. 2). Жидкость в системе находилась в равновесии до момента времени t=0. Вследствие внешних явлений возникло переносное ускорение a. В системе нарушилось равновесие жидкости и создалось колебательное движение. Исследуем закономерность изменения уровня жидкости в сосудах.

Пусть центры тяжести свободных поверхностей при колебании будут $O_1(x_1, y_1, z_1)$ и $O_2(x_2, y_2, z_2)$. Если потери энергии считать по формуле (3) $h_n = kv$, из уравнения нестационарного движения будем иметь

$$\alpha_0 l \frac{dv}{dt} + gkv - X(x_2 - x_1) - Y(y_2 - y_1) - Z(z_2 - z_1) = 0.$$
 (13)

Пусть вектор переносного ускорения действует в горизонтальной плоскости и с осью ox составляет угол v, тогда $X=a\cos v$; $Y=a\sin v$;

$$Z=-g$$
. Учитывая, что $z_2-z_1=2\delta;\ v=rac{\Omega}{\omega}\,rac{d\delta}{dt}$ и обозначая $p=rac{gk}{a_0l};$

$$q=\frac{2g\omega}{\alpha_0 l\Omega};$$

$$b = \frac{\omega}{\alpha_0 i\Omega} [(x_2 - x_1) \cos v + (y_2 - y_1) \sin v],$$

из (13) получим неоднородное линейное дифференциальное уравнение второго порядка с постоянными коэффициентами

$$\delta'' + p\delta' + q\delta = b \cdot a(t). \tag{14}$$

189

Рассмотрим случай, когда переносное ускорение описывается функцией $a=e^{-\alpha t}(A_1\cos\gamma t+B_1\sin\gamma t)$.

Тогда из (14) получим

$$o'' + p\delta' + qo = e^{-at}(A\cos\gamma t + B\sin\gamma t), \tag{15}$$

где $A=b\cdot A_1$; $B=b\cdot B_1$.

Общее решение уравнения (15) представим в виде суммы частного решения уравнения (15) и общего решения однородного уравнения

$$\partial'' + p\partial' + q\partial = 0. \tag{15}$$

Частное решение уравнения (15) ищем в форме $c_1 = e^{-\alpha t}(C_1 \cos \gamma t + C_2 \sin \gamma t)$.

Коэффициенты C_1 и C_2 должны удовлетворять системе уравнений:

$$C_{1}(\alpha^{2} - \gamma^{2} - p\alpha + q) + C_{2}\gamma(p - 2\alpha) = A;$$

$$C_{1}(2\alpha - p) + C_{2}(\alpha^{2} - \gamma^{2} - p\alpha + q) = B.$$

$$(17)$$

а. Общее решение уравнения (15) при больших сопротивлениях, т. е. при $p^2-4q>0$,

$$\tilde{c} = e^{-\alpha t} (C_1 \cos \gamma t + C_2 \sin \gamma t) + C_3 e^{r_1 t} + C_4 e^{r_2 t},$$

$$\text{где } r_1 = -\frac{p}{2} + \lambda; \quad r_2 = -\frac{p}{2} - \lambda; \quad \lambda = \sqrt{\frac{p_2}{4} - q};$$

$$C_3 = \frac{C_1 (2\alpha + p + 2\lambda) - 2\gamma C_2}{4\lambda}; \quad C_4 = \frac{2\gamma C_2 - C_1 (2\alpha + p + 6\lambda)}{4\lambda}.$$
(18)

б. При малых сопротивлениях, т. е. при $p^2-4q<0$,

$$\hat{a} = e^{-at}(C_1\cos\gamma t + C_2\sin\gamma t) + e^{-\frac{p}{2}t}(C_5\cos\lambda t + C_6\sin\lambda t),$$
 (19)

где

$$C_5 = -C_1;$$
 $C_6 = \frac{(2\alpha - p)C_1 - 2\gamma C_2}{2\lambda}.$

Примеры. Допустим l=40 м, v=0.01 см²/сек; D=12 см; $v=45^\circ$; $x_2-x_1=8$ м; $y_2-y_1=6$ м; $\alpha=0.21$ /сек; $A_1=3$ м/сек²; $B_1=2$ м/сек²; $\gamma=1$ /сек;

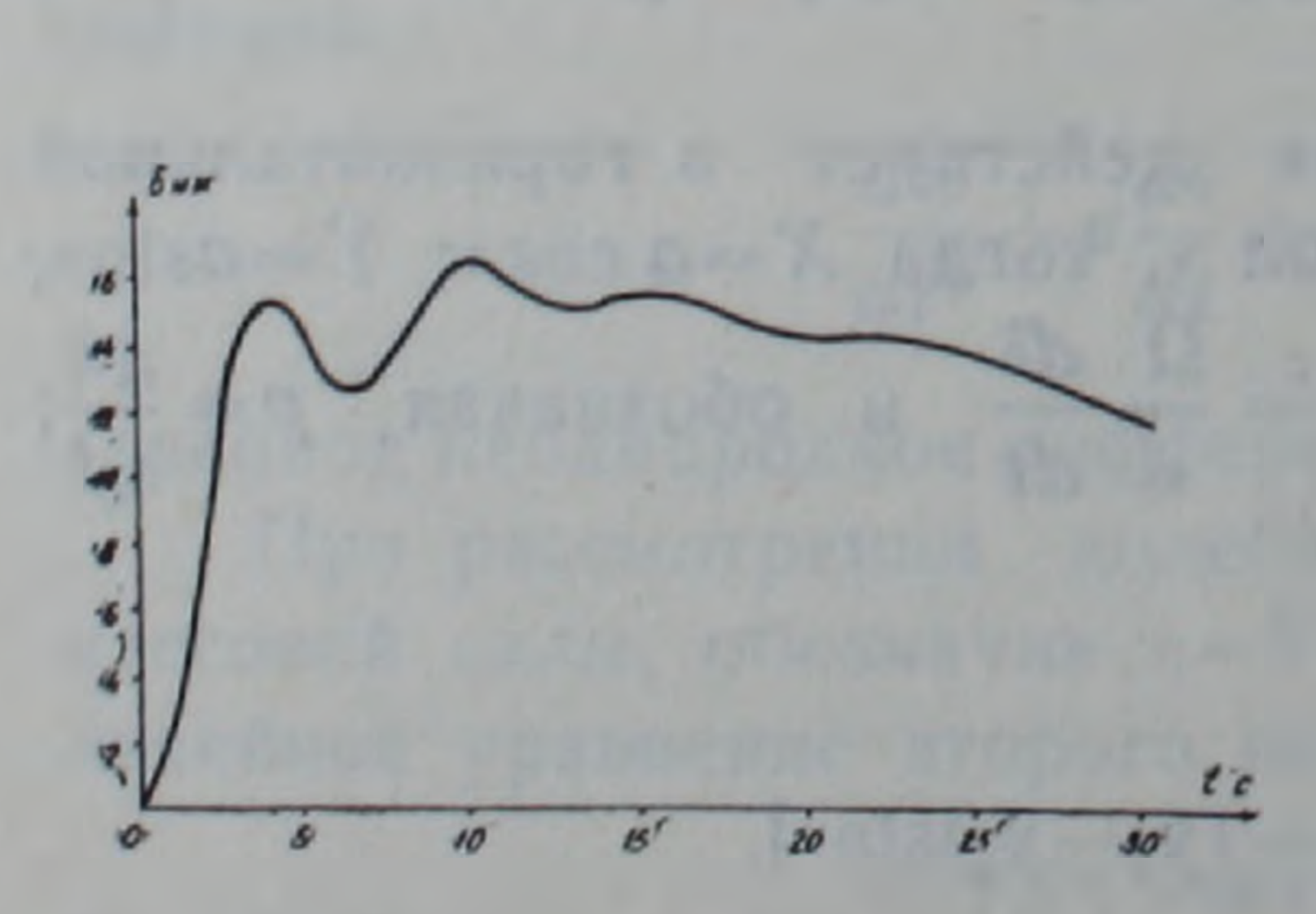


Рис. 3. График закономерности изменения уровней жидкости в сосудах при больших гидравлических сопротивлениях

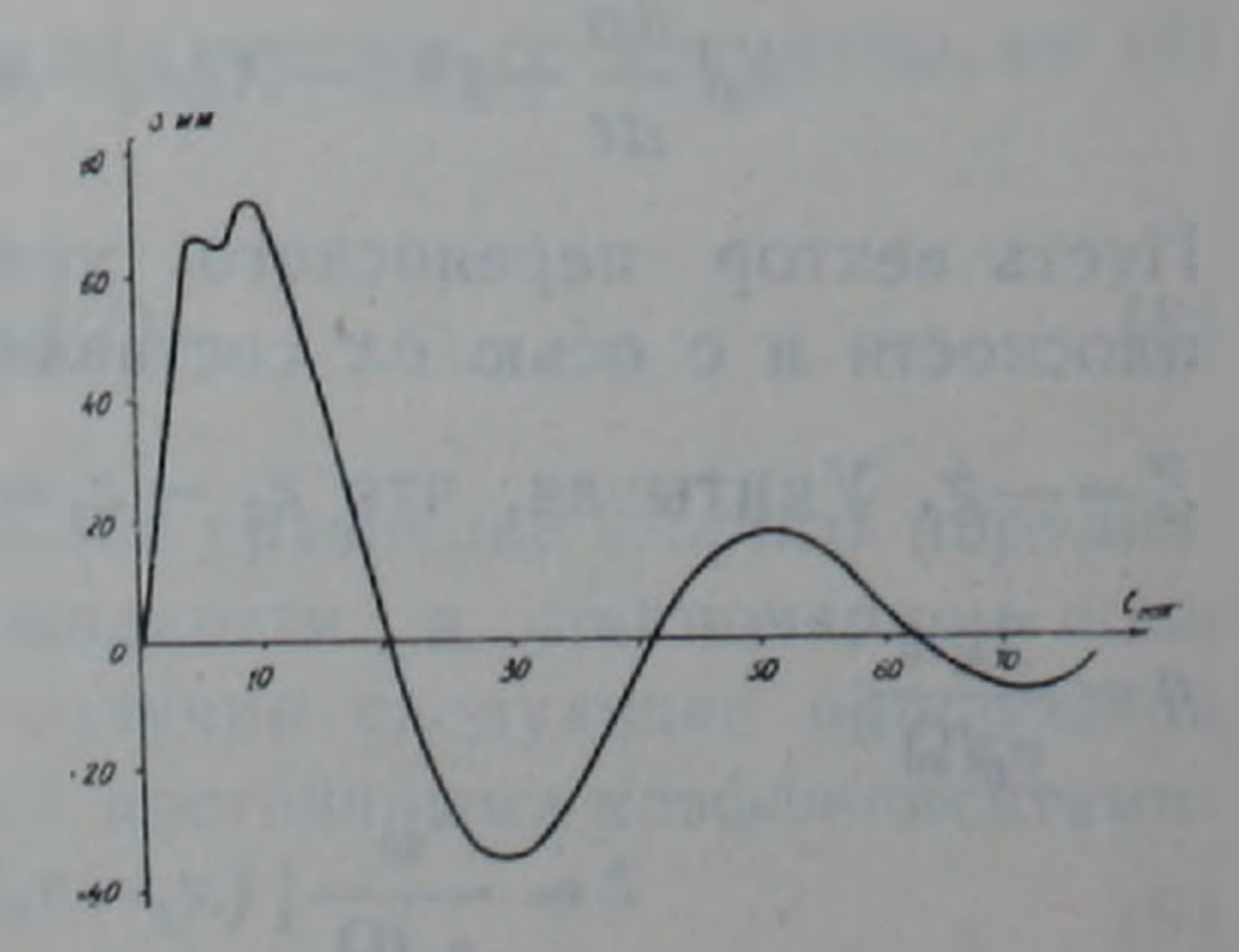


Рис. 4. График, описывающий колебание уровней жидкости в системах гидродинамических нивелиров при малых сопротивлениях

- 1) при $d_0 = 12$ мм закономерность изменения уровней жидкости в сосудах показана на рис. 3;
 - 2) при $d_0 = 20$ мм результаты вычислений приведены на рис. 4. Приведенные вычисления показывают, что:
- 1) при затухающем переносном ускорении в трубопроводе возникает колебательное движение как при больших, так и при малых сопротивлениях;
- 2) после затухания внешних ускорений в системе равновесие жидкости устанавливается по прошествии длительного времени.

Разработанная теория позволяет исследовать движение жидкости в системе трубопроводов при возникновении любых внешних ускорений.

Ереванский политехнический институт им. К. Маркса

Ա. Մ. ԲԱՐԽՈՒԴԱՐՅԱՆ

Խողովակնեrում և հիդrոդինամիկ հաrթաշափման համակաrգեrում հեղուկի տատանումնեrը զանգվածային ուժեrի դաշտում

Հողվածում դուրս է բերված կս։Թիլային հեղուկի միաչափ ոչ ստացիոնար շարժման հավասարումը՝ ցանկացած զանգվածային ուժերի դաշտում։

Որպես օրինակ, ուսումնասիրված է երկու տարբեր Համակարգերում Հեղուկի շարժման բնույթը, որը կարող է առաջանալ զանգվածային ուժերի Հանկարծակի փոփոխությունից, օրինակ՝ երկրաշարժի դեպքում։

ЛИТЕРАТУРА— ԳՐԱԿԱՆՈՒԹՅՈՒՆ

¹ А. М. Бархударян, Р. А. Мовсесян, Изв. вузов. Геодезия и аэрофотосъемка, № 6, 1981. ² Р. А. Мовсесян, А. М. Бархударян, Изв. вузов. Геодезия и аэрофотосъемка, № 6, 1975. ³ Р. А. Мовсесян, А. М. Бархударян, Изв. вузов. Геодезия и аэрофотосъемка. № 1, 1976.

